

19

CONGRESO INTERNACIONAL DE
DIAGNÓSTICO POR
IMÁGENES DE CÓRDOBA

argerich

ECOGRAFÍA GINECOLÓGICA: HALLAZGOS ECOGRÁFICOS FISIOLÓGICOS

AUTORES: Meza L., Robledo L., Espil G., Kozima S., Larrañaga N

Servicio de diagnóstico por imágenes

Hospital Dr. Cosme Argerich – CABA – Argentina

Mail: linameza0109@gmail.com

Los autores declaran no tener conflictos de intereses.



OBJETIVOS

- Identificar los hallazgos fisiológicos más comunes en las diferentes etapas del ciclo menstrual a través de la ecografía ginecológica.

REVISIÓN DEL TEMA

argerich

Los hallazgos ecográficos normales difieren entre las mujeres: antes y después de la menopausia, si han o no tenido hijos y a lo largo de cada fase del ciclo menstrual.

ÚTERO

Compuesto por:

ENDOMETRIO

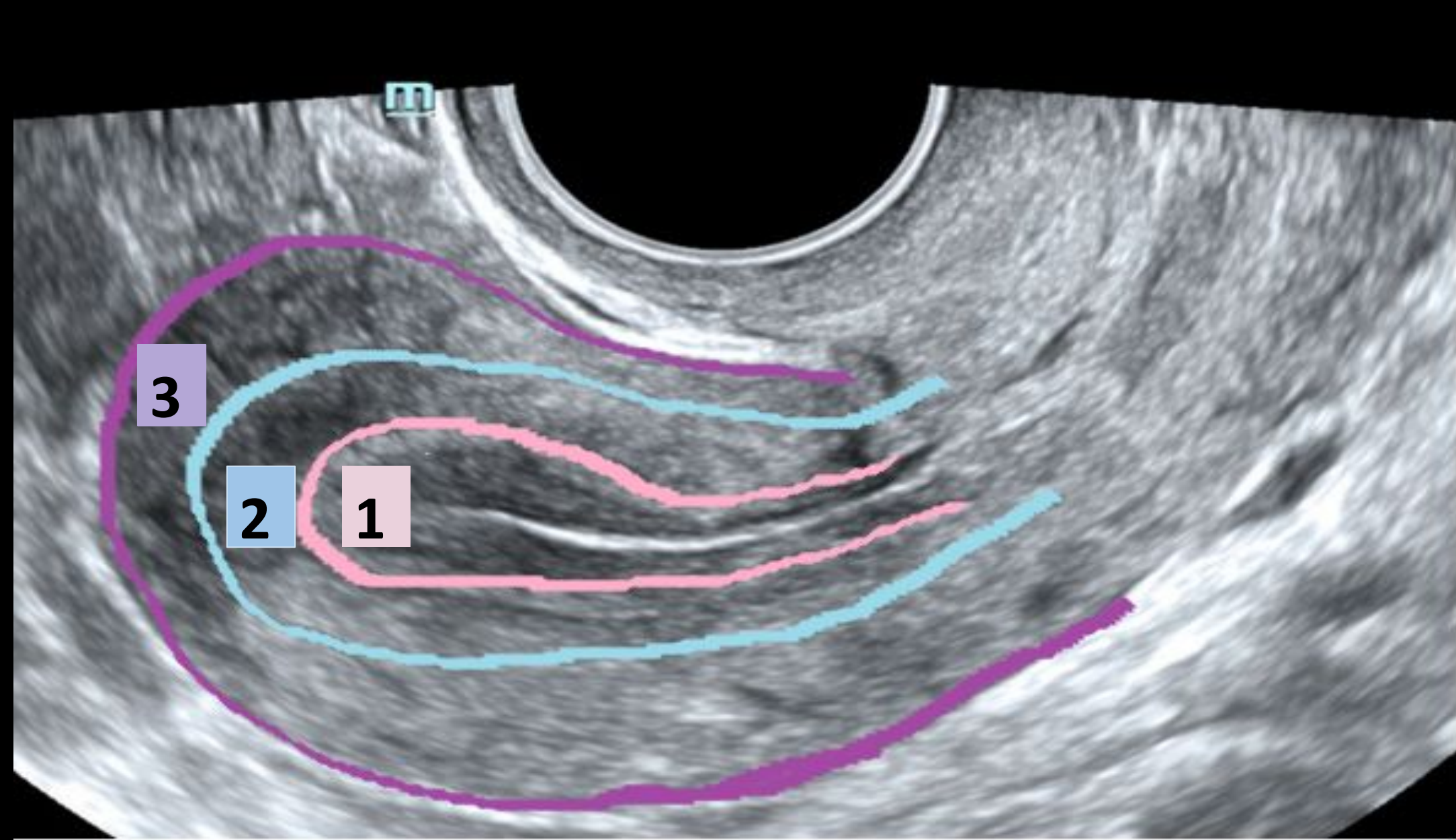
1

ZONA DE UNIÓN

2

MIOMETRIO

3

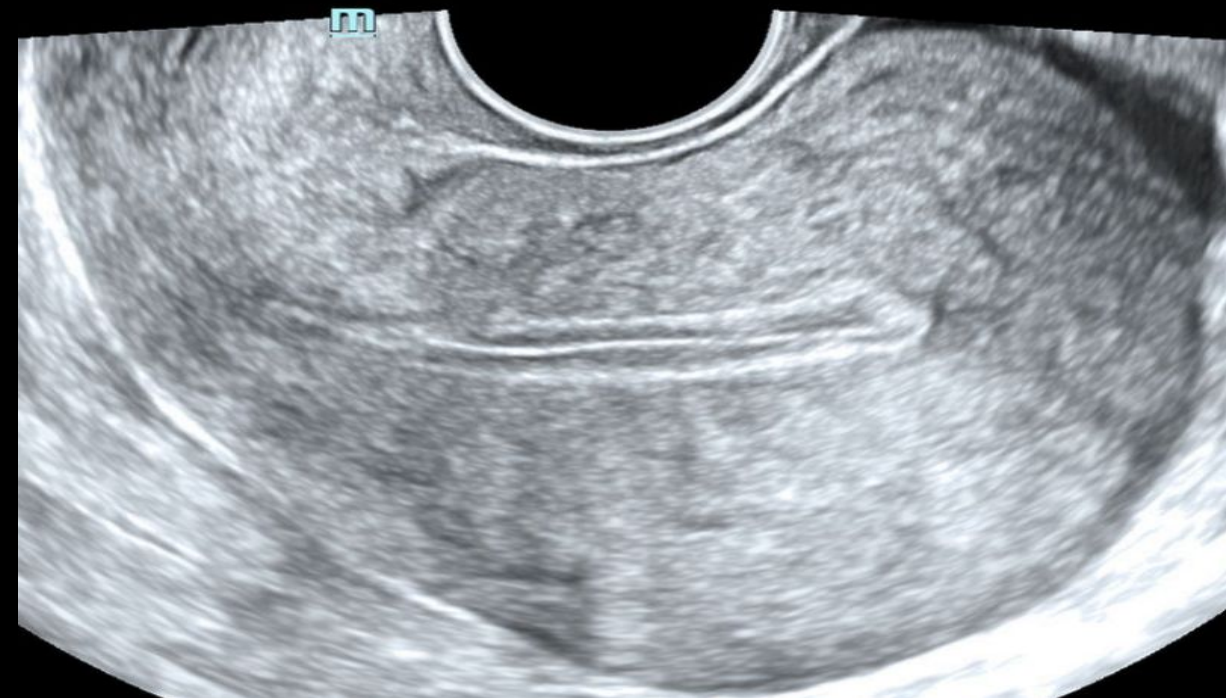


ÚTERO - POSICIÓN

argerich



La **versión uterina** → Es el ángulo que forma el eje cervical con el eje vaginal:



Retroversión: ángulo vagina-cérvix mira hacia atrás.



Anteversión: ángulo vagina-cérvix mira hacia delante.

ÚTERO - POSICIÓN

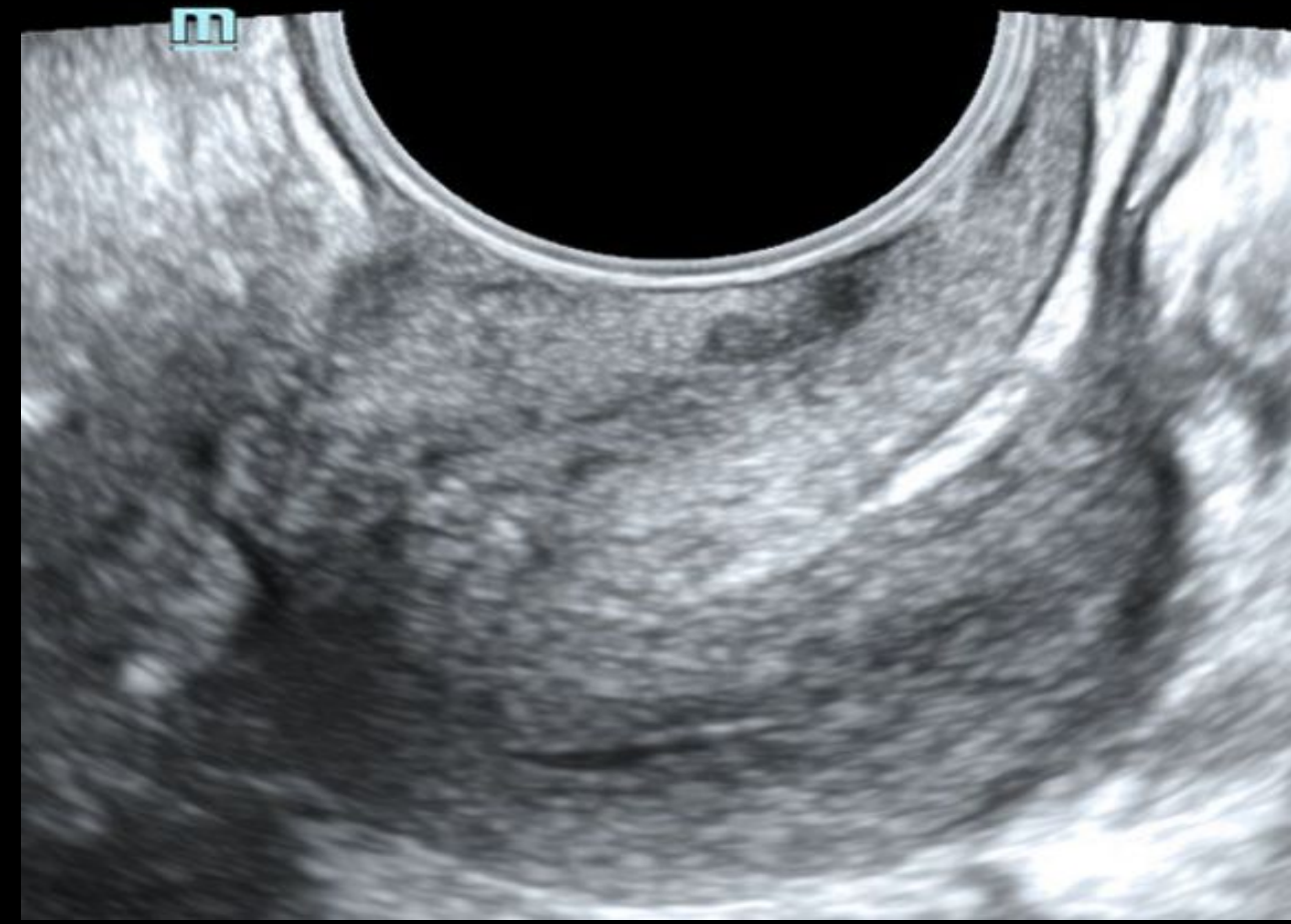
argerich



La **flexión uterina** se define como el ángulo que forma el eje del cuerpo uterino con el eje cervical:



Anteflexión: el ángulo del cuello uterino mira hacia delante.

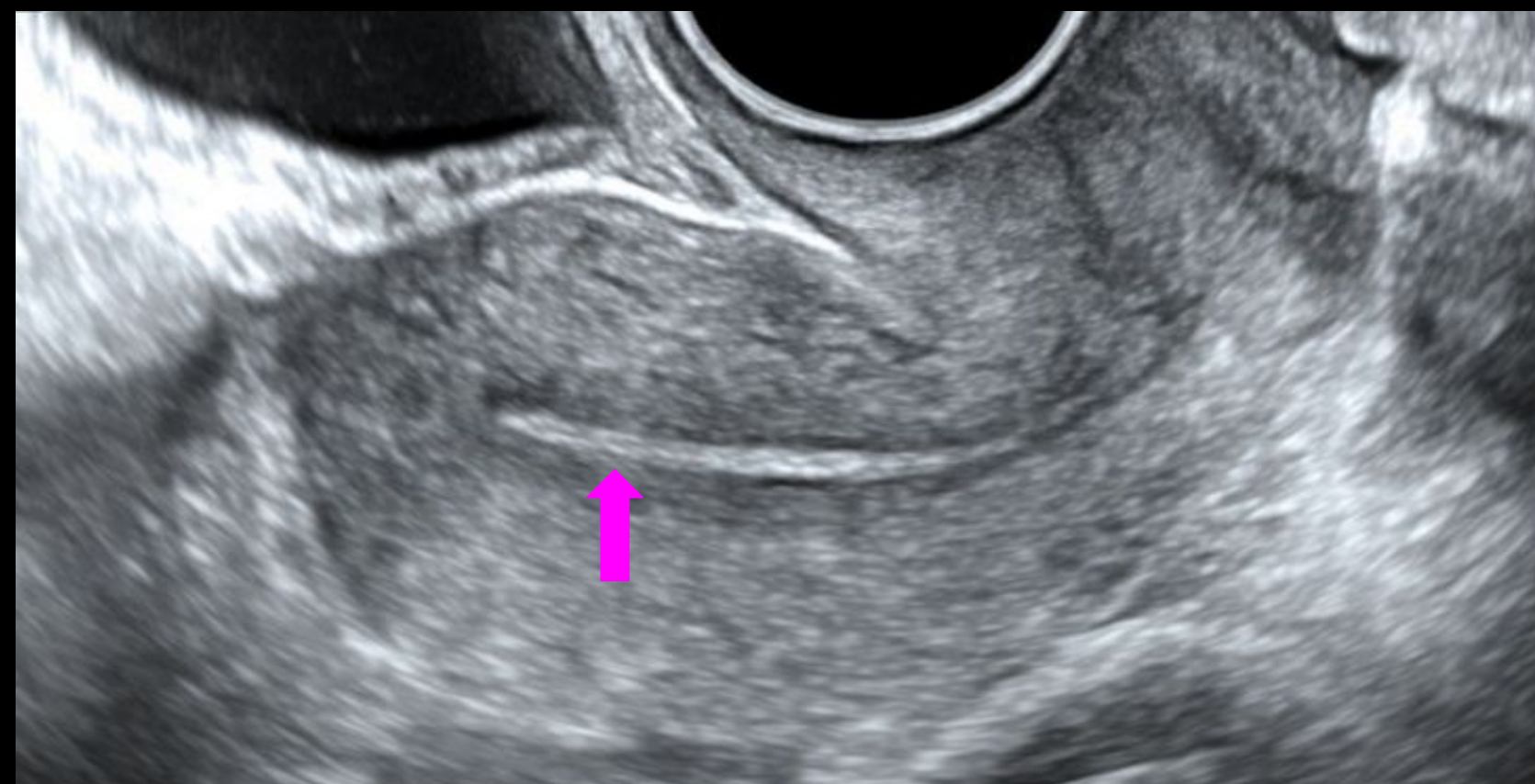


Retroflexión: el ángulo del cuello uterino mira hacia atrás.



ENDOMETRIO

- Cambia en apariencia y en grosor en cada fase del ciclo.

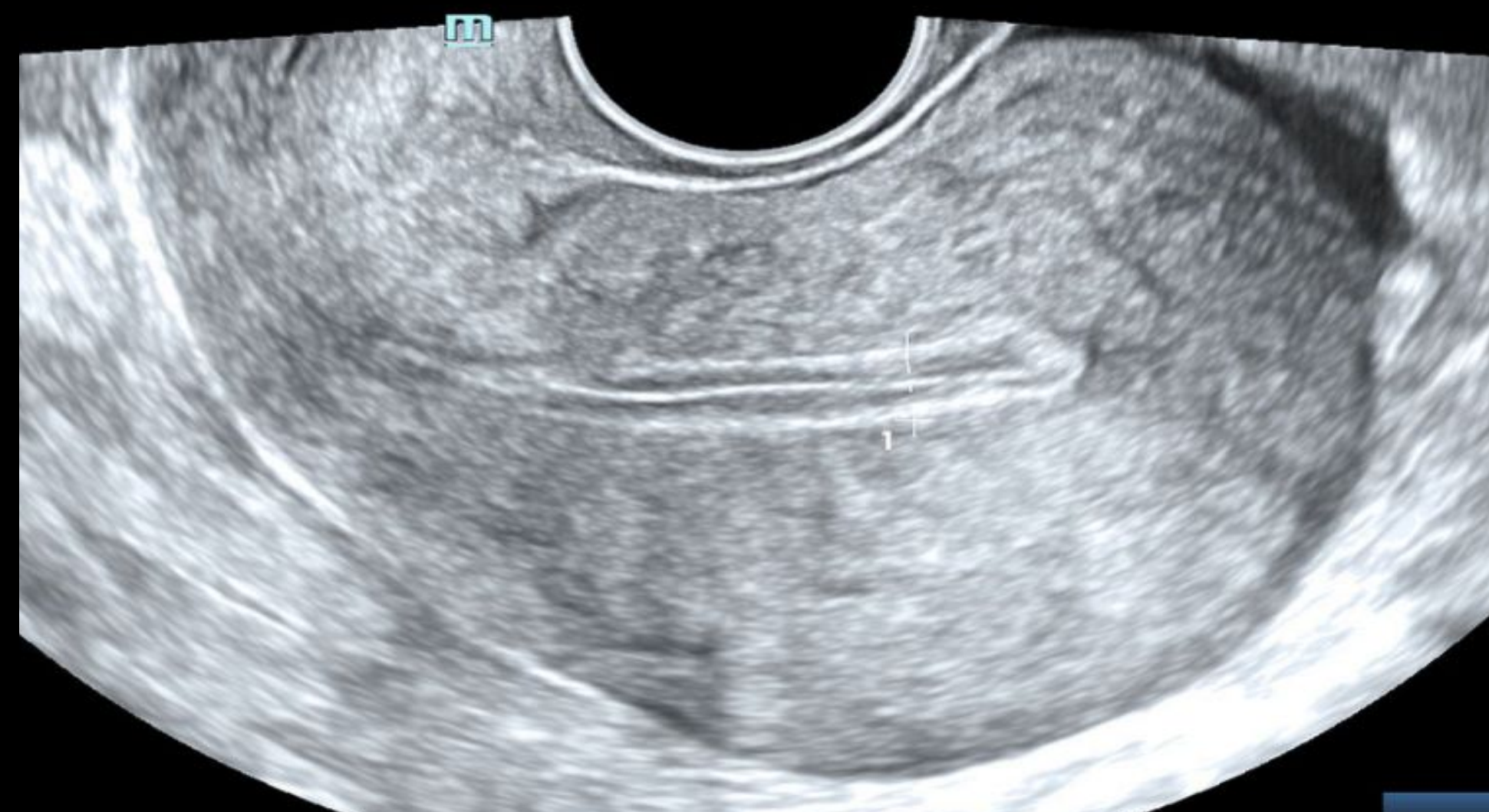


Fase menstrual
2-4 mm

Franja delgada y brillantemente ecogénica que forma parte de la capa basal.



ENDOMETRIO



Fase proliferativa
4-8 mm

Apariencia trilaminar: capa basal ecogénica externa, capa funcional hipoecoica media y una franja ecogénica interna en la interfaz central.

ENDOMETRIO

argerich 



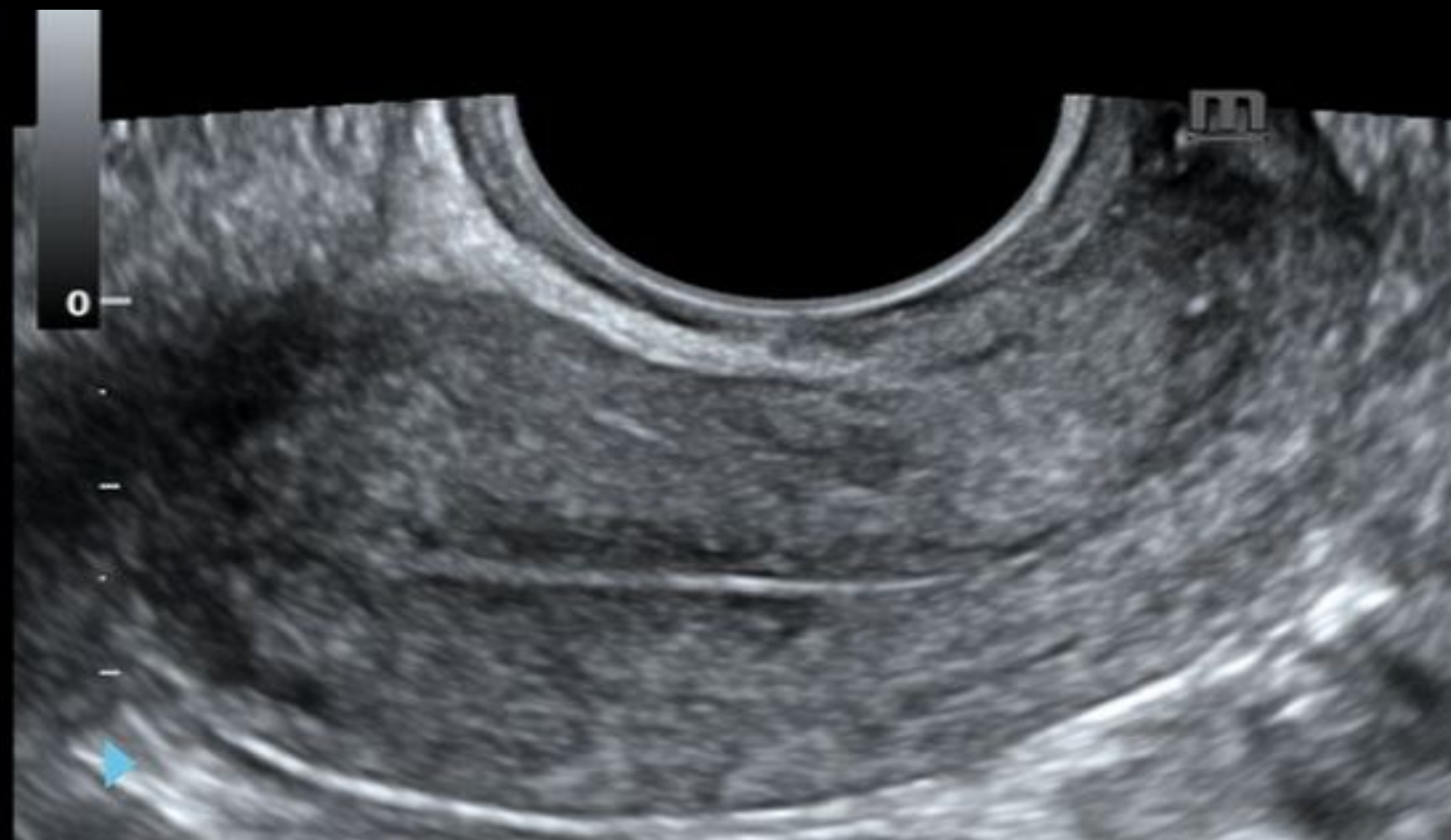
Fase secretora
7-14 mm

Más grueso
Uniformemente ecogénica



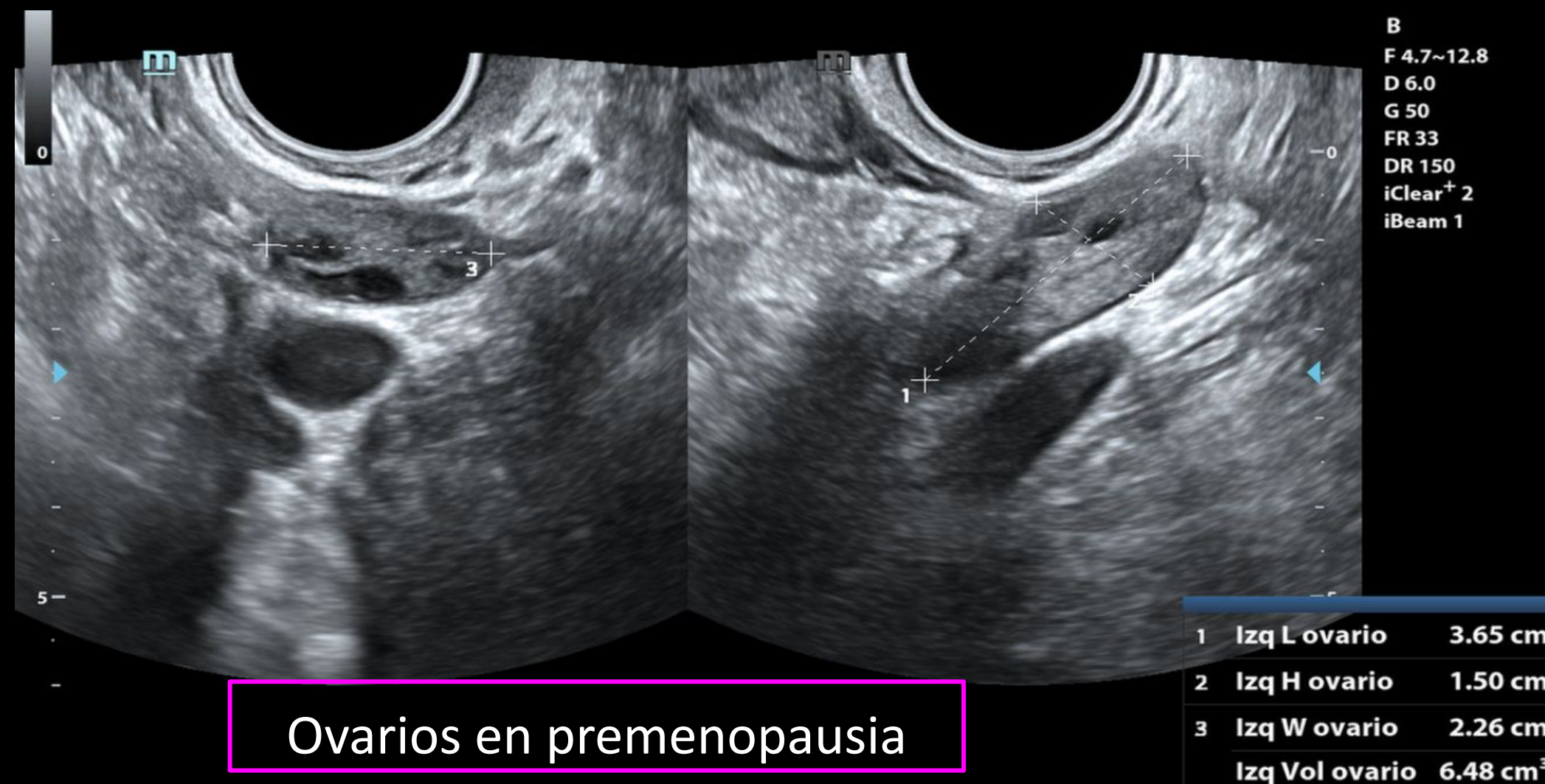
ENDOMETRIO - POSTMENOPAUSIA

- Debe ser liso y homogéneo.
- Suele ser inferior a 5 mm.



OVARIOS

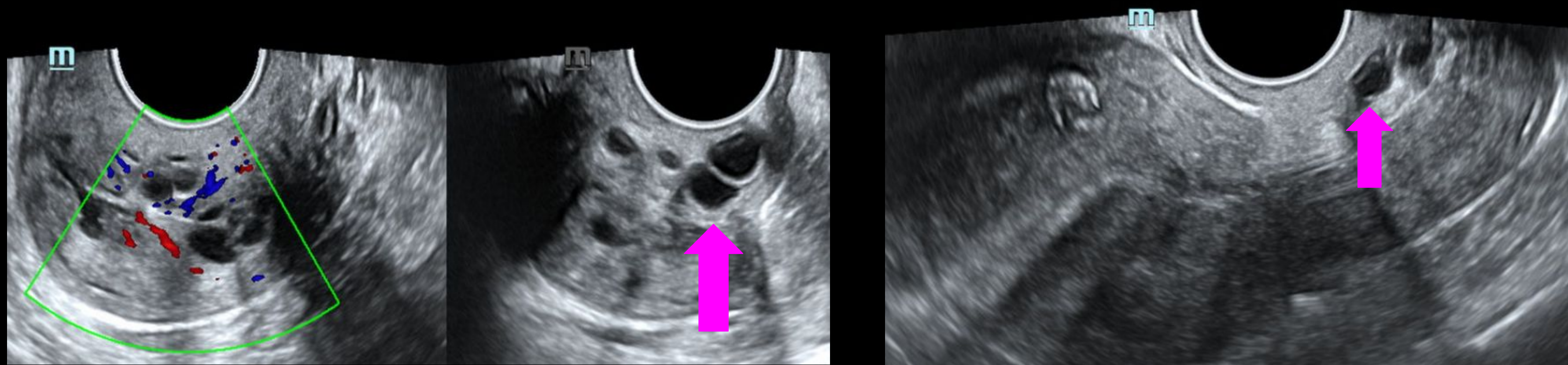
- Su tamaño se expresa en volumen.
Fórmula: ancho x espesor x largo x 0.52
- Disminuyen con cada década de la vida desde los 30 hasta los 70 años.
 - **Edad fértil:** hasta 20 ml.
 - **Postmenopausia:** hasta 10 ml.





QUISTES DE NABOTH

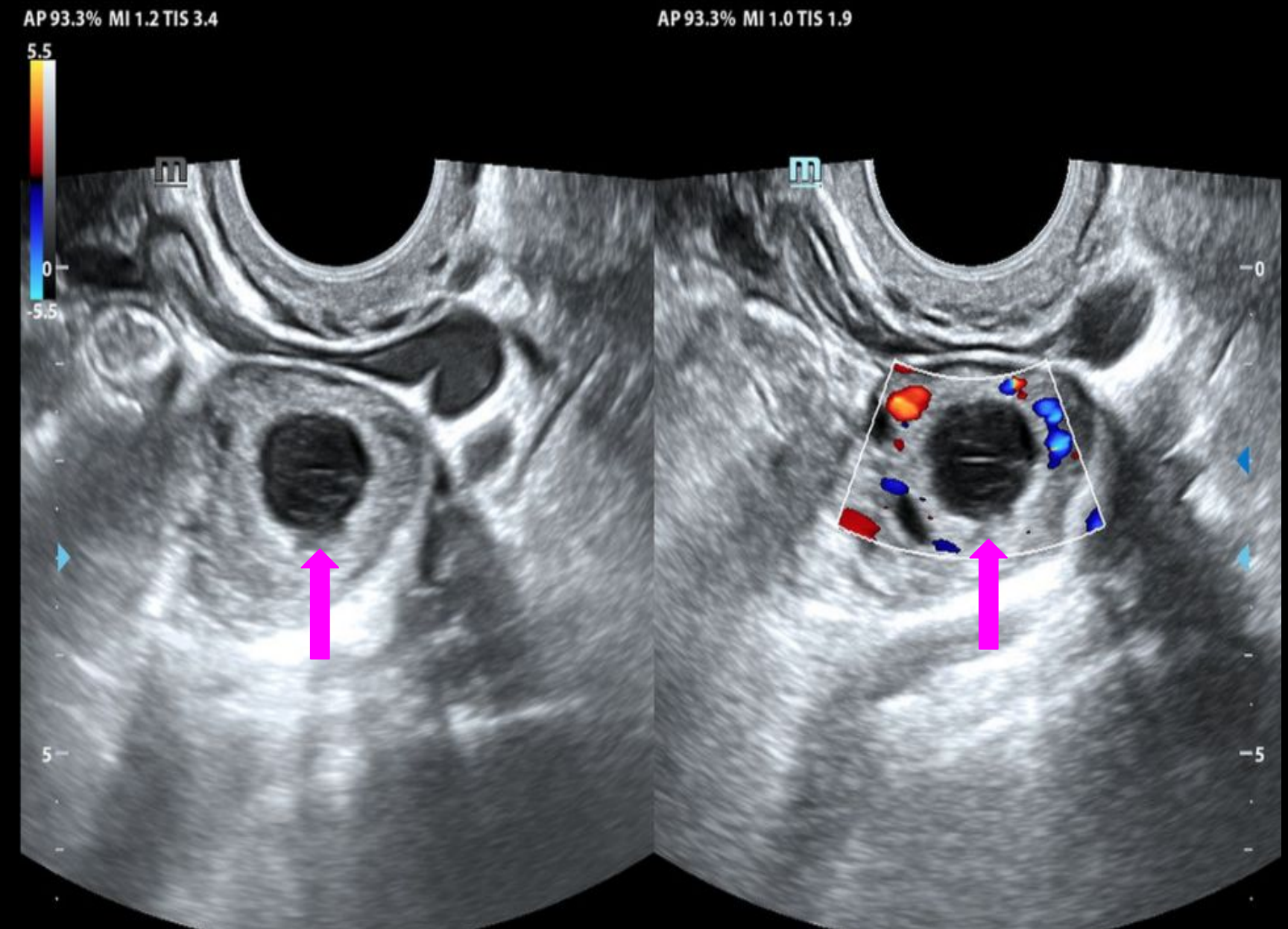
- Lesiones no neoplásicas, quísticas anecoicas y bien definidas cerca del canal endocervical.





CUERPO LÚTEO

- Restos del folículo después de la ovulación.
- **Diámetro de entre 2 y 5 cm** → involucionan a medida que madura.
- Su comportamiento depende si el óvulo fue fecundado o no.
- Quiste de paredes gruesas con una vascularización periférica característica en forma de " **anillo de fuego** "



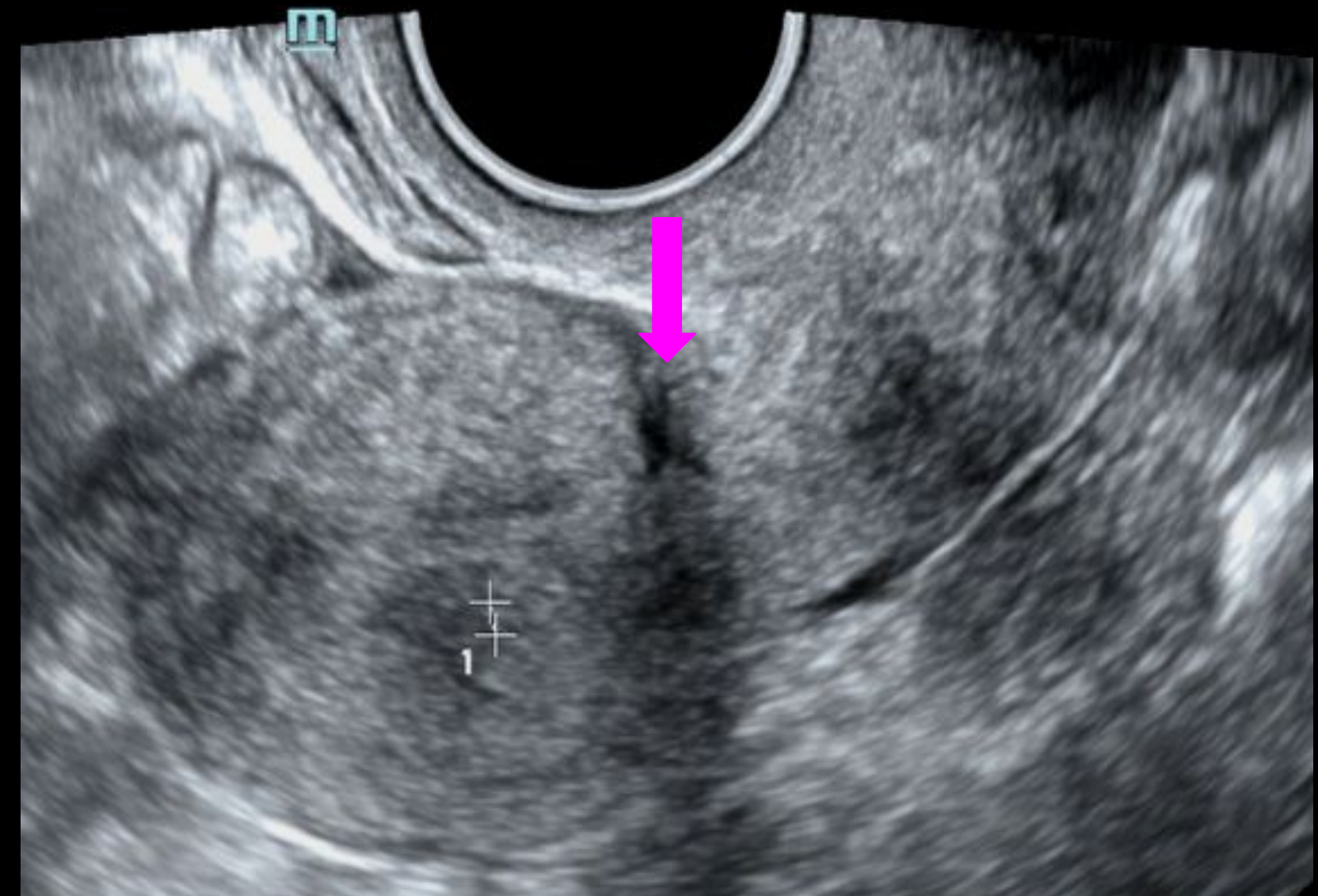


CICATRIZ DE CESÁREA

Área hipoecoica dentro del miometrio en el istmo con interrupción del miometrio.

Se encuentran en *varias formas* como:

- Semicircular
- Triangular
- Gota
- Quistes de inclusión



CONCLUSIONES

La ecografía es la modalidad de imagen primaria para la evaluación de los órganos reproductores femeninos, se realiza de manera óptima utilizando las técnicas transabdominal y transvaginal. La correcta identificación y comprensión de los hallazgos normales es fundamental para detectar de manera más efectiva las patologías y optimizar el uso de recursos médicos.

BIBLIOGRAFIA

argerich

1. Vista de Ecografía ginecológica en la infancia y adolescencia [Internet]. Espacio-seram.com. [citado el 2 de junio de 2024]. Disponible en: <https://piper.espacio-seram.com/index.php/seram/article/view/13/11>
2. Del Útero: Cuello Y Endometrio E. ISUOG Entrenamiento Básico [Internet]. Isuog.org. [citado el 2 de junio de 2024]. Disponible en: <https://www.isuog.org/static/fc63159d-b691-4433-bb72c5aa3a7ff49a/Lecture-26-Examinando-el-utero-cuello-y-endometrio-rev-CV-1019.pdf>
3. Básicos EGL. ISUOG Entrenamiento Básico [Internet]. Isuog.org. [citado el 2 de junio de 2024]. Disponible en: <https://www.isuog.org/static/uploaded/9e815cf9-e7f7-4b6d-838de0b86d05b283.pdf>
4. Pavlik EJ, DePriest PD, Gallion HH, Ueland FR, Reedy MB, Kryscio RJ, et al. Ovarian volume related to age. Gynecol Oncol [Internet]. 2000;77(3):410–2. Disponible en: <http://dx.doi.org/10.1006/gyno.2000.5783>
5. Nalaboff KM, Pellerito JS, Ben-Levi E. Imaging the endometrium: Disease and normal variants. Radiographics [Internet]. 2001;21(6):1409–24. Disponible en: <http://dx.doi.org/10.1148/radiographics.21.6.g01nv211409>
6. Vista de CARACTERÍSTICAS ULTRASONOGRÁFICAS-DOPPLER DEL CUERPO LÚTEO COMO PREDICTORAS DEL RESULTADO DEL EMBARAZO / (Ultrasonographic Doppler characteristics of the corpus luteum as a predictor of pregnancy [Internet]. Produccioncientificaluz.org. [citado el 2 de junio de 2024]. Disponible en: <https://produccioncientificaluz.org/index.php/redieluz/article/view/31583/32737>